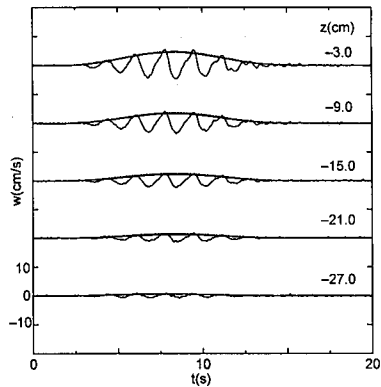
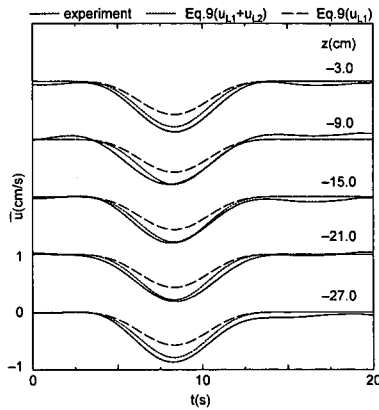
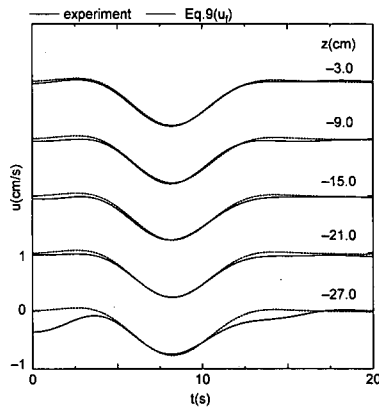
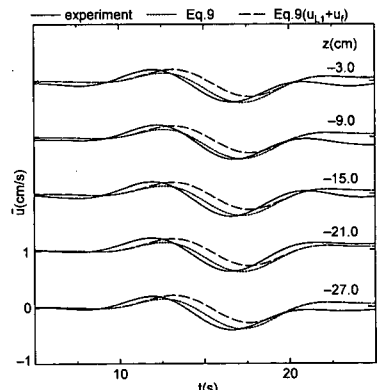
(a) 水平流速 (ケース 1, $x=2.0\text{ m}$)(b) 鉛直流速 (ケース 1, $x=2.0\text{ m}$)

図-5 水平, および鉛直流速と包絡波形の時系列

の水平流速解の振幅, u_{f*} は自由長周期波の水平流速解 u_f の振幅を表す。いずれのケースも実測の水平流速はほぼ鉛直方向に一様に分布しており、理論値と良い一致を示している。

2.3 波群造波における拘束長周期波の水平流速

本研究では波群造波に伴う自由長周期波の発生を抑える造波において、拘束長周期波の水平流速として拘束長周期波の水位変動に対応する水平流速 u_{L1} のみ用いており、基本波の質量輸送をキャンセルする戻り流れ u_{L2} を考慮していない。そこで自由長周期波の制御における与えるべき拘束長周期波の水平流速を Boussinesq 方程式の数値シミュレーションにより検討した。計算結果より長周期成分を抽出したものが図-10である。点線の LHS 解は初期包絡波形が変調せず伝播するものとして計算を行った。質量輸送の効果を無視した場合は LHS 解と良い一致を示すが、質量輸送の効果を考慮すると過大な制御となる。自由長周期波の制御は従来通り(3)式を用いればよい。

図-6 長周期成分の水平流速 (ケース 1, $x=2.0\text{ m}$)図-7 自由長周期波の水平流速 (ケース 3, $x=2.0\text{ m}$)図-8 長周期波の水平流速 (ケース 2, $x=12\text{ m}$)

3. クノイド波群と長周期波

波高の大きい条件で(3)式の様な線形造波理論を用いて波を造波すると高次の短周期の自由波が発生し、目標とする波の場が得られず実験の妨げになる場合があ

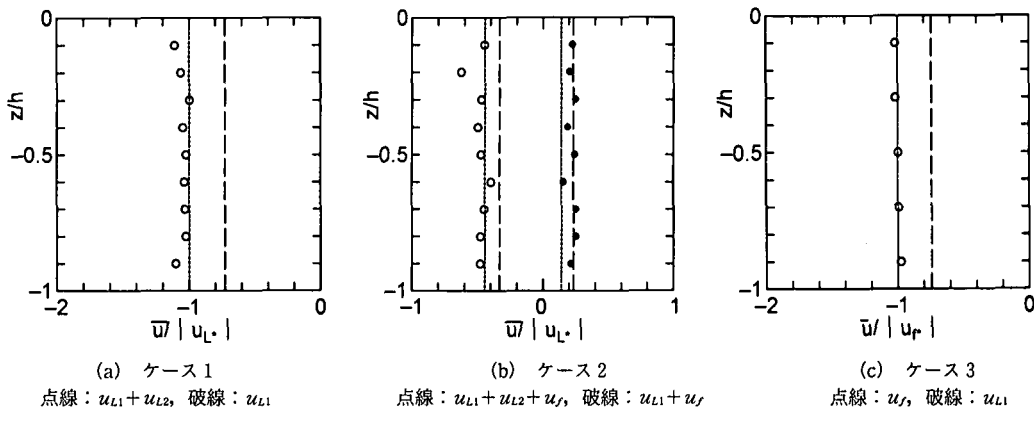


図-9 長周期波の水平流速の鉛直分布(白丸と黒丸は実測値の最小値と最大値を表す。)

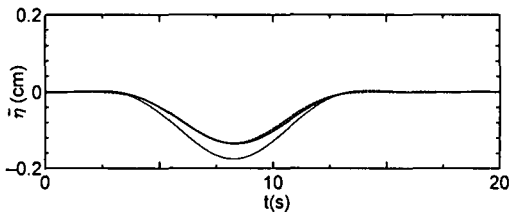
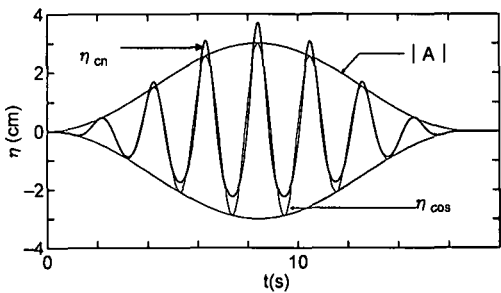
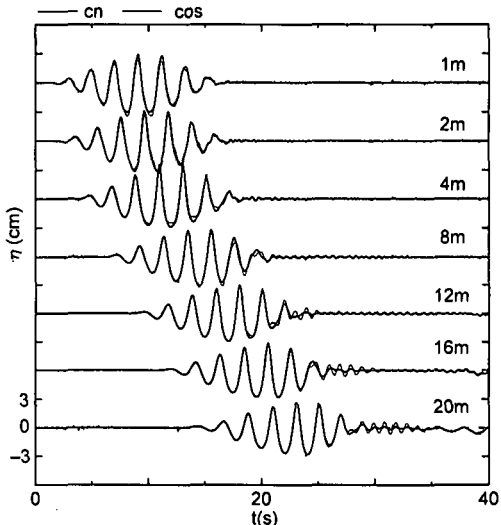
図-10 長周期成分の水位変動
太実線：質量輸送無視, 細実線：質量輸送考慮, 点
線：LHS解(7)式

図-11 正弦波群とクノイド波群の波形

図-12 クノイド波群と正弦波群の水位変動
 $a_{max}=3.0 \text{ cm}$, $T=2.1 \text{ s}$, $T_o=16.8 \text{ s}$, 自由長周期
波制御

る。そこで本研究では高次の短周期、および長周期の自由波の発生を抑える造波について検討した。造波理論は Goring and Raichlen (1980) の理論を参考にした。入射波群として (1) 式の代わりに次式で表される 1 次オーダーのクノイド波を基本波とする波群を用いる。

$$\eta_{cn} = H(x, t) \{ cn[\theta, \kappa] - \bar{cn}^2 \} \quad (10)$$

ここで、

$$\theta = 2K(x/L - t/T) \quad (11)$$

H は波高、 cn はヤコビの楕円関数、 κ は母数、 K は第一種完全楕円積分、 $\bar{\cdot}$ は周期平均を表す。母数 κ は H の変化に対応して求める。基本波がクノイド波の波群と正弦波の波群を比較したものが図-11 である ($H=2A_i$)。 (10) 式に対する造波板の変位は、

$$\xi_p(t) = \frac{L}{2Kh} \left[H \bar{cn}^2 \theta_c + \frac{H}{\kappa^2} \{ E(\theta_c, \kappa) - (1 - \kappa^2) \theta_c \} \right] \quad (12)$$

$$\theta_c = 2K(t/T - \xi_p/L) \quad (13)$$

となる。ここで、 $E(\theta_c, \kappa)$ は第二種楕円積分を表す。自由長周期波も制御する場合、次式を (12) 式に加える。

$$X_L(t) = \int_0^t \left(\frac{C_g}{h} \eta_* + \xi_{L1} \frac{\partial u_{cn}}{\partial x} \right) dt \quad (14)$$

ただし C_g や η_* に含まれる radiation stress は微小振幅波理論に基づく式を用いた。

実験装置、水深および計測機器は 2.1 と同じである。相対水深 $kh=0.55 \sim 0.70$ 、波高水深比 $a_{max}/h=0.1 \sim 0.3$ の範囲でクノイド波群と正弦波群を造波した。図-12 は実

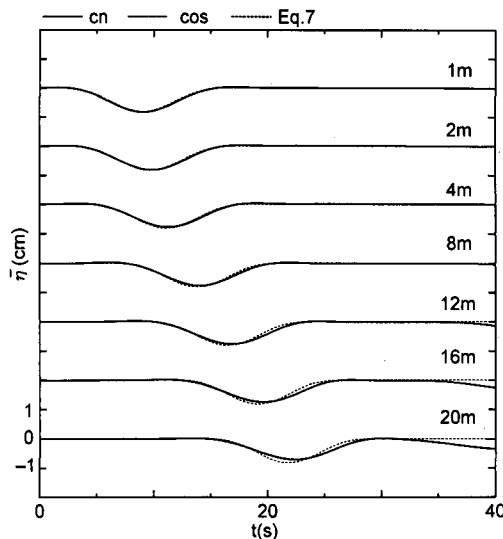


図-13 クノイド波群と正弦波群の長周期成分の水位変動

測のクノイド波群と正弦波群の水位変動を比較した1例である。正弦波群を造波した場合、2倍周波数以上の成分が発生し位相速度の違いにより伝播に伴い基本波群から分離していく。クノイド波群で造波した場合は、3倍周波数以上の成分は制御仕切っていないものの2倍周波数成分の発生は抑えられている。図-12のデータから長周期成分を抽出したものが図-13である。点線のLHSの水位変動解は初期包絡波形が変調せず伝播するものとして計算を行った。造波板付近ではクノイド波群と正弦波群の長周期成分、およびLHS解の3者は良く一致している。なお、自由長周期波を制御しない場合についても3者は良く一致していた。実験条件の範囲内では本手法により短周期、および長周期の自由波を抑えられることが確認できた。図-10はクノイド波群と正弦波群の長周期成分の水平流速を比較したものである。水平流速も水位変動と同様、3者の一致は良好である。

4. おわりに

LDVを用いて波群に伴う長周期波の流速場について

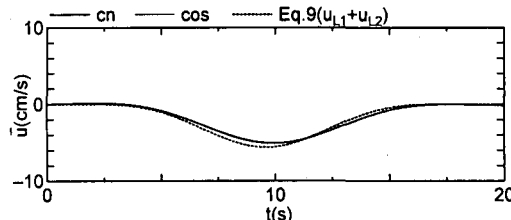


図-14 クノイド波群と正弦波群の長周期成分の水平流速

調べた。得られた結果をまとめると、

- ①実際に観測される波群に伴う拘束長周期波の水平流速は、拘束長周期波の水位変動に対する水平流速だけではなく基本波の質量輸送の効果をキャンセルする戻り流れも存在する。
- ②LHSの拘束長周期波の水平流速解が妥当であることが確認できた。なお、自由長周期波も存在する場合、長周期成分の水平流速はLHSの拘束長周期波の水平流速解と自由長周期波の水平流速の線形和で表すことができる。
- ③長周期成分の水平流速は鉛直方向に一様であり、鉛直成分は存在しない。
- ④波群造波に伴い発生する自由長周期波の制御における拘束長周期波の水平流速は(5)式を用いればよく、質量輸送の効果は考慮しなくてよい。
- ⑤短周期と長周期の自由波の発生を抑える造波について検討し、有効であることが確認できた。

参考文献

- 佐藤慎司 (1997): 浅海域における長周期流速変動の発達特性, 海岸工学論文集, 第44巻, pp. 256-260.
- 箕田博章・水口 優 (1996): 単一波群による長周期波, 海岸工学論文集, 第43巻, pp. 161-165.
- 松立博樹・水口 優 (1997): 浅海域における波群の伝播変形と長周期波, 海岸工学論文集, 第44巻, pp. 211-215.
- Goring, D. and Raichlen, F. (1980): The generation of long waves in the laboratory, Coastal Engineering, pp. 763-783.
- Longuet-Higgins, M. S. and R. W. Stewart (1962): Radiation stress and mass transport in gravity waves, with applications to 'surf-beats' J Fluid Mech, Vol. 13, pp. 481-504.
- Sand, S. E. (1982): Long waves in directional seas, Coastal Eng., Vol. 6(3), pp. 196-208.